季節変動を考慮した促進暴露試験における自然電位・分極抵抗のモニタリング

(株) エチゾウテック 正会員 岡本晋作 正会員 白倉篤志 神戸大学工学部 正会員 森川英典

1 目的

現在,コンクリート中の鉄筋腐食を診断するうえで自然電位法と分極抵抗法が知られている.しかし,両手法とも季節(水分,気温)など諸条件により測定値が変化する事が言われている.そこで,本研究ではそれら諸条件が測定値に及ぼす影響を把握することを目的とし,実験用供試体を作成し鉄筋腐食モニタリングを行った.

2 実験概要

表 1 に本実験の供試体概要を示す.目標空気量 $4.5 \pm 0.5\%$,目標スランプ $8 \pm 1.5 \text{cm}$ とし供試体を作成した.塩化物イオンは,予め水に溶解し練り混ぜを行った.

供試体は図1に示すように寸法150×150×500mmとし,かぶりを30mmとなるようにD13異形鉄筋を埋設した.また,測定面が打設面とならぬように打設を行った.鉄筋突出部およびその端面に関してはエポキシ樹脂コーキング剤を塗布した.

図 2 に暴露試験の状況を示す.打設後,約 1 ヶ月湿布 養生を行い,その後材令 3 ヶ月で暴露試験を開始した. 暴露試験の間,供試体は布で覆い1日1回程度,噴霧器 により水分を供給した.

測定は,約1ヶ月に1回行いコンケリート含水量,表面温度, 自然電位,分極抵抗を計測した.なお,測定個所は供試 体1体に対し図1に示す様に鉄筋交差部2箇所と中央部 1箇所の表・裏の両面とした.

3 実験結果および考察

3.1 自然電位

図 3 に自然電位の経時変化を示す. Cl^- を混入しない N55 と N75 の自然電位はほぼ同程度であり,現在のところ差は見られない. Cl^- を混入した S55 と S75 では W/C の影響が見られ平均値で 80~180mV 程度の差が見られる.

また、 Cl^- を混入したS シリーズは混入していないN シリーズよりW/C=55%で250 mV,W/C=75%で400 mV程度卑な方向へシフトしている.これは Cl^- を混入した1 v がリートの場合,電圧降下が小さいためであると考えられる.



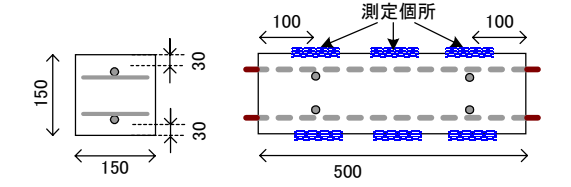
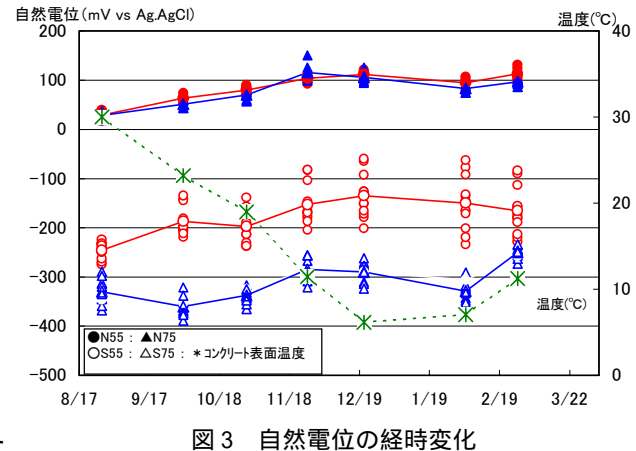


図1 供試体の形状・寸法



図2 暴露試験状況



四0 日然电位切迹的交形

キーワード:自然電位 分極抵抗 鉄筋腐食 季節変動 促進暴露試験

〒551-0023 大阪市大正区鶴町 2-15-26 TEL: 06-6555-7055 FAX: 06-6555-7062

3.2 分極抵抗

図4に分極抵抗の経時変化を示し、図5にSシリーズのみに着目した分極抵抗の経時変化を示す.SシリーズはNシリーズと比較し分極抵抗がかなり小さくなっている.これは,Clの影響により鉄筋が腐食しやすい環境であると言える.また,図4,5よりNシリーズ,Sシリーズともに季節変動により分極抵抗が大きく変動しており,既往の研究結果「!」と同様に温度等の影響を大きく受けることが分かる.

3.3 各測定値と温度の関係

図6にNシリーズの自然電位および分極抵抗と温度との関係を示す。図6に示すように温度が低くなるにしたがって自然電位,分極抵抗が大きくなっている.ただし,表2に示すように冬場におけるコンクリートの含水量が夏場より1~2%小さくなっており,その影響を含んでいる可能性も考えられる コンクリート表面温度が10 程度以下になると自然電位,分極抵抗ともに変化があまり見られなくなった.

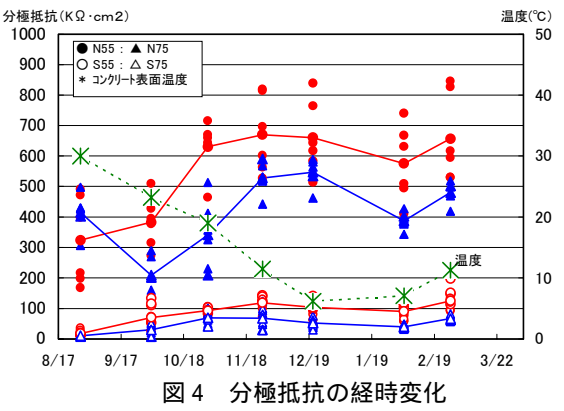
3.4 自然電位と分極抵抗との関係

図7にNシリーズとSシリーズの自然電位と分極抵抗との関係を示す.NシリーズとSシリーズでは全く異なる傾きを示すが,自然電位が貴に移行すると分極抵抗は大きくなるという傾向は同様である.Nシリーズにおいても今後,自然電位が卑な方向へ移行するにしたがって傾きが小さくなると考えられるが,Sシリーズと同様な傾きとなるかについては今後の実験データの蓄積が必要である.

4 まとめ

- ・ 分極抵抗は自然電位より気温やコンクリートの含水率による影響を受けやすい.
- ・ 自然電位および分極抵抗によりモニタリングを行う際は実施時の環境(温度・含水率)条件を把握する必要がある.
- ・ 本実験では Cl を含まない供試体の場合 ,コンケリート表面 温度が 10 程度以下になると自然電位,分極抵抗と もに変化があまり見られなくなった.
- ・ 自然電位が貴に移行するにしたがい分極抵抗は大き くなる傾向が見られた.

参考文献[1]: 下澤 和幸, 田村 博, 永山 勝, 山本 祐子: コンクリート構造物の鉄筋腐食遠隔モニタリング, コンクリート工学年次論文集, Vol.21,No.2,1999, pp997~1002



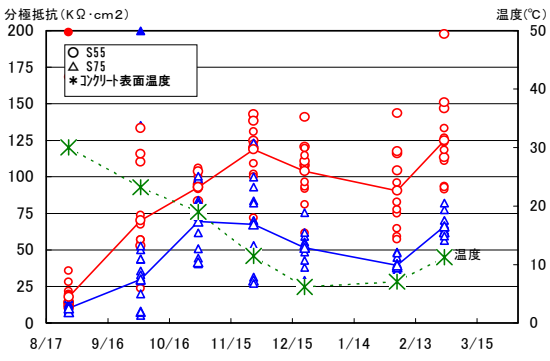


図 5 分極抵抗の経時変化(S シリーズのみ)

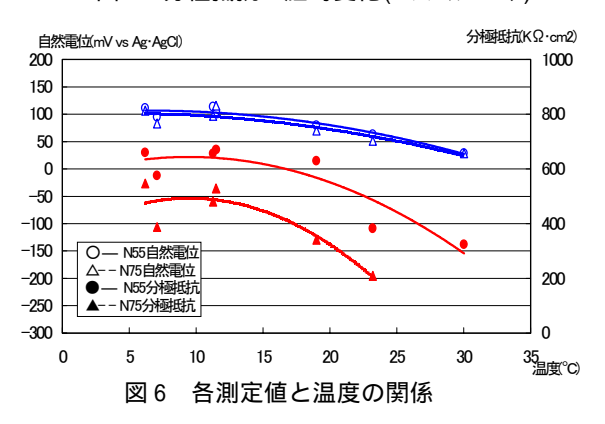


表 2 コンクリート含水率(%)

シリース゛	8/27	10/2	10/30	11/26	12/21	2/4	2/27
N55	3.2	3.1	3.7	2.7	3.0	2.7	2.3
N75	3.7	3.5	3.9	3.2	3.2	3.1	2.1
S55	4.9	4.2	3.4	2.8	2.9	2.3	2.3
S75	5.4	6.0	6.0	4.3	4.9	5.3	3.0

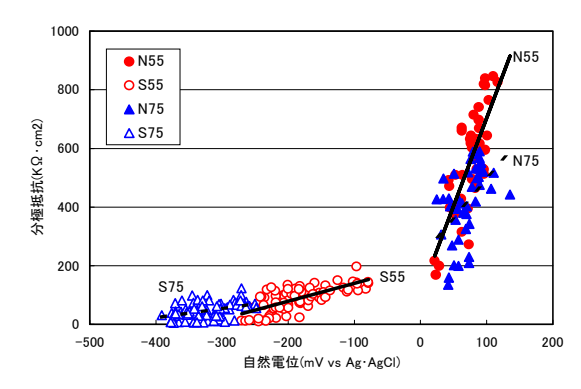


図7 自然電位と分極抵抗との関係